

Relaciones de fluctuación-disipación fuera del equilibrio en vidrios de espín

Juan J. Ruiz-Lorenzo

Departamento de Física (UEx)
Instituto de Biocomputación y
Física de los Sistemas Complejos [BIFI](UZ)

ruiz@unex.es

En colaboración con:

A. Cruz, S. Jiménez y A. Tarancón (U. Zaragoza y BIFI)

L. A. Fernández (UCM y BIFI)

Transparencias de la charla en:

<http://www.unex.es/fisteor/juan>

Vidrios de Espín

- Materiales **metálicos** con **impurezas magnéticas**. Por ejemplo, **Cobre o Plata** con impurezas de **Hierro o Manganeso** ($\simeq 1\%$).
- La interacción entre los **momentos magnéticos (impurezas)** está mediada por los **electrones de la banda de conducción del metal**, induciendo una interacción oscilante (**RKKY**):

$$J(r) \simeq \frac{\cos(2k_F r)}{r^3} \quad \text{si } k_F r \gg 1.$$

- Las propiedades anteriores inducen **desorden y frustración**.
- Aunque en general los espines son de **Heisenberg**, los espines en **CuMn** se pueden considerar de **Ising** en muy buena aproximación.
- Hamiltoniano de **Edwards y Anderson**:

$$\mathcal{H} = - \sum_{\langle i,j \rangle} J_{ij} \sigma_i \sigma_j - \sum_{\langle i,j \rangle} J_{ij} \tau_i \tau_j$$

J_{ij} Gaussianas o bimodales de media cero.

- **Parámetro de orden**: Solapamiento entre dos réplicas independientes del sistema, q :

$$q = \overline{\langle \sigma_i \tau_i \rangle}$$

- **Meta**: Caracterizar $P(q)$.

Modelos Teóricos I: Droplets

- Ferromagneto “camuflado”.
- Fase de alta temperatura paramagnética: $\overline{\langle m_i \rangle^2} = 0$.
- $h = 0$: Fase (vidrio de espín) de baja temperatura compuesta por dos estados relacionados por “spin-flip”: $q_{EA} = \overline{\langle m_i \rangle^2} \neq 0$. Transición de fase paramagneto-vidrio de espín.
- $h > 0$: La fase vidrio de espín es inestable bajo el campo magnético: fase de baja temperatura paramagnética. No hay transición de fase en presencia de campo magnético.
- $P(q)$ trivial.

Modelos Teóricos II: Replica Symmetry Breaking (RSB)

- Fase de alta temperatura **paramagnética**.
- Fase de baja temperatura **vidrio de espín**:
 - Numero **infinito** (no numerable) de estados puros (de volumen finito) no relacionados entre si por una simetría (módulo la simetría global de “spin-flip”).
 - Estos estados pudieran estar organizados de manera **ultramétrica**.
- **Existe transición de fase** tanto en ausencia como en presencia de campo magnético.
- $P(q)$ no trivial.

Existe un tercer escenario (intermedio): **TNT** (**T**rivial **N**ot **T**rivial): $P(q)$ No Trivial pero $P(q_{\text{link}})$ Trivial.

Fluctuación-Disipación: Equilibrio.

Si perturbamos un Hamiltoniano \mathcal{H} :

$$\mathcal{H}' = \mathcal{H} + \int \Delta h(t) A(t) dt ,$$

podemos definir la función de autocorrelación, C y la función de respuesta, R ,

$$C(t_1, t_2) \equiv \langle A(t_1) A(t_2) \rangle ,$$
$$R(t_1, t_2) \equiv \left. \frac{\delta \langle A(t_1) \rangle}{\delta \Delta h(t_2)} \right|_{\Delta h=0} .$$

Normalmente $A(t) = \sigma_i(t)$.

En el **equilibrio**, C y R están relacionadas por

$$R(t_1, t_2) = \frac{1}{T} \theta(t_1 - t_2) \frac{\partial C(t_1, t_2)}{\partial t_2} ,$$

que es el **Teorema de Fluctuación-Disipación**.

Fluctuación-Disipación: Fuera del equilibrio.

Fuera del equilibrio y en vidrios de espín en dimensión infinita (donde RSB es exacta) se verifica:

$$R(t_1, t_2) = \frac{1}{T} X(C(t_1, t_2)) \frac{\partial C(t_1, t_2)}{\partial t_2},$$

En el equilibrio $X = 1$. Además, cuando $t_2 \rightarrow \infty$, $q = C(t_1, t_2)$:

$$X(q) \rightarrow x(q) \equiv \int_{q_{\min}}^q dq' P(q'),$$

que es la relación **dinámica-estática**. [Cugliandolo y Kurchan. Numéricamente: Franz y Rieger]

Esta relación ha sido demostrada en sistemas desordenados con la propiedad de **estabilidad estocástica**. [Numéricamente: Marinari, Parisi, Ricci-Tersenghi y Ruiz-Lorenzo. Analíticamente: Franz, Mezard, Parisi y Peliti.]

Un modelo es **estable estocásticamente** bajo una clase de perturbaciones aleatorias:

$$\mathcal{H} \rightarrow \mathcal{H} + \epsilon \mathcal{H}_R$$

si su energía libre promedio (con respecto a \mathcal{H}_R) es una función diferenciable de ϵ y el límite termodinámico conmuta con las derivadas respecto a ϵ , para una elección de la perturbación en la clase dada de perturbaciones \mathcal{H}_R .

Fluctuación-Disipación: Implementación.

En el régimen lineal:

$$m[h + \Delta h](t) = m[h](t) + \int_{-\infty}^t dt' \left. \frac{\delta m[h'](t)}{\delta h'(t')} \right|_{h'(t)=h(t)} \Delta h(t') + \mathcal{O}(\Delta h^2) .$$

Usando la definición de R :

$$\Delta m[h, \Delta h](t) = \int_{-\infty}^t dt' R(t, t') \Delta h(t') + \mathcal{O}(\Delta h^2) .$$

Aplicando el teorema de fluctuación-disipación generalizado:

$$\Delta m[h, \Delta h](t) \simeq \Delta h \beta \int_{t_w}^t dt' X[C(t, t')] \frac{\partial C(t, t')}{\partial t'} ,$$

y haciendo el cambio de variables $u = C(t, t_w)$:

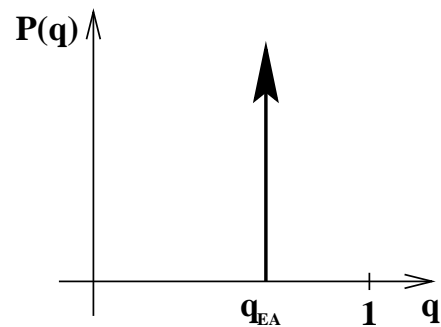
$$\Delta m[h, \Delta h](t) \simeq \Delta h \beta \int_{C(t, t_w)}^1 du X[u] .$$

Si definimos:

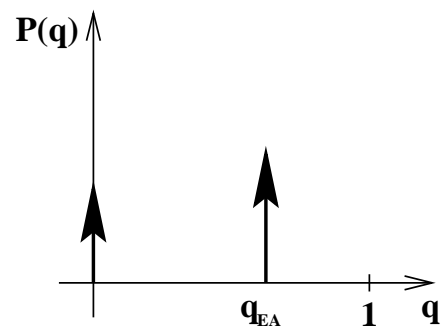
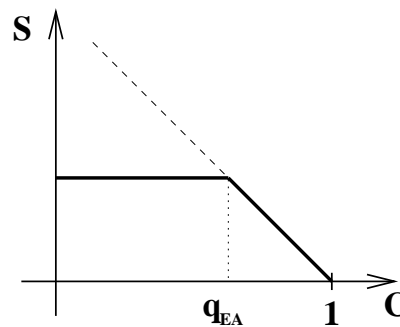
$$S(C) \equiv \int_C^1 dq x(q) ,$$

podemos escribir finalmente (relación **estática dinámica**, $t_w \gg 1$):

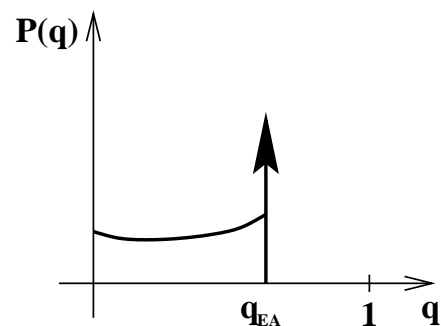
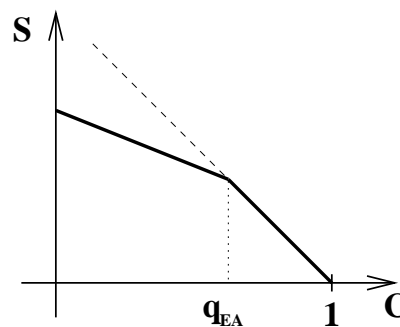
$$\boxed{\frac{\Delta m[\Delta h](t) T}{\Delta h} \simeq S(C(t, t_w)) .}$$



A



B



C

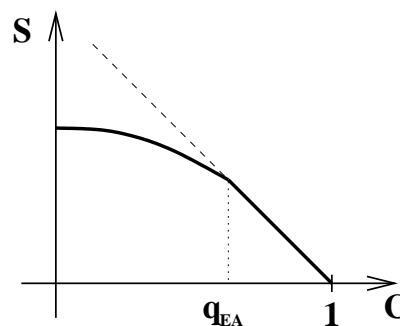


Figura 1: **Comportamientos Droplet, 1-step y RSB.**

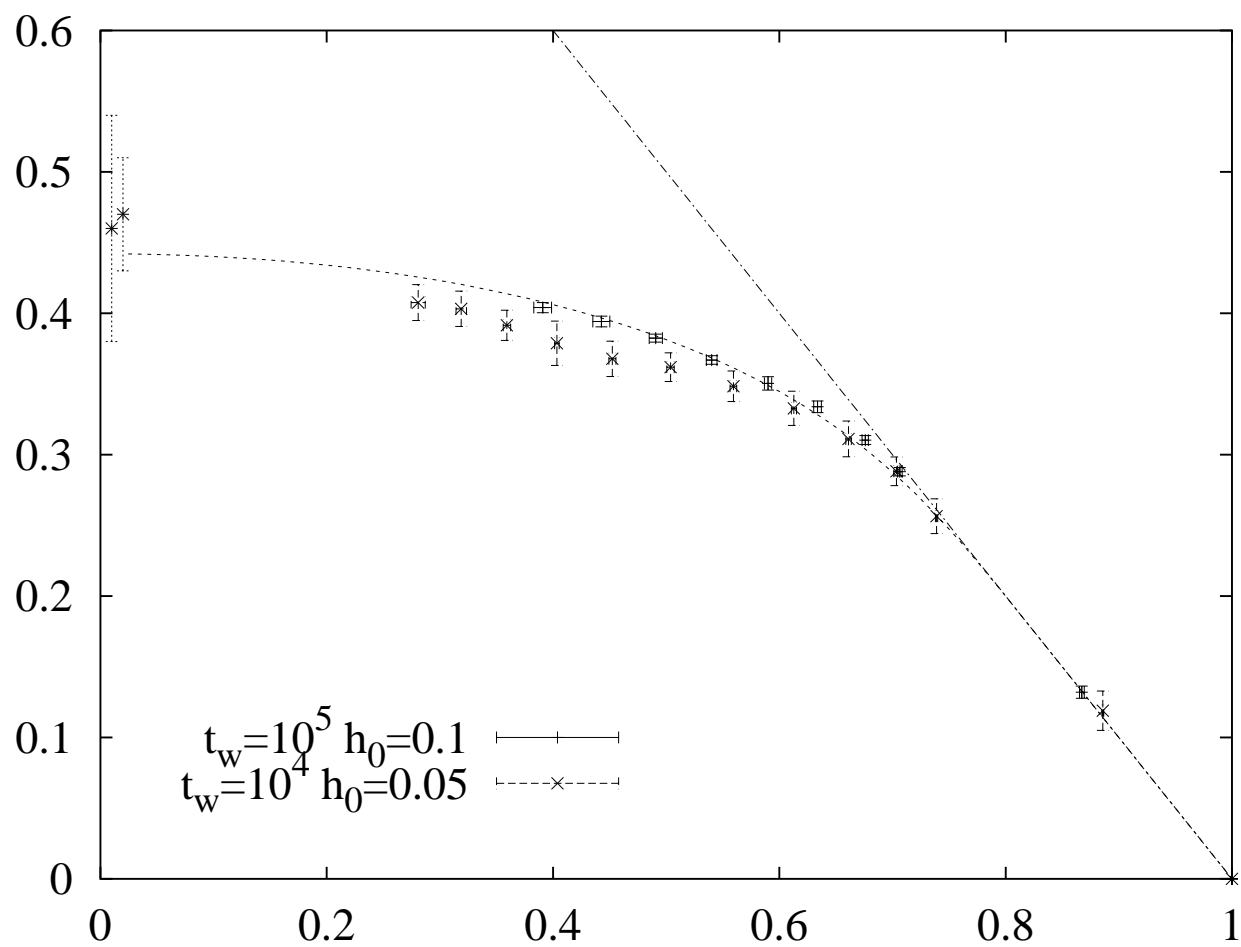


Figura 2: **Vidrio de espín tridimensional.** $h = 0$, $L = 64$, $T = 0.7T_c$. Marinari, Parisi, Ricci-Tersenghi y Ruiz-Lorenzo. Véase también Berthier y Barrat.

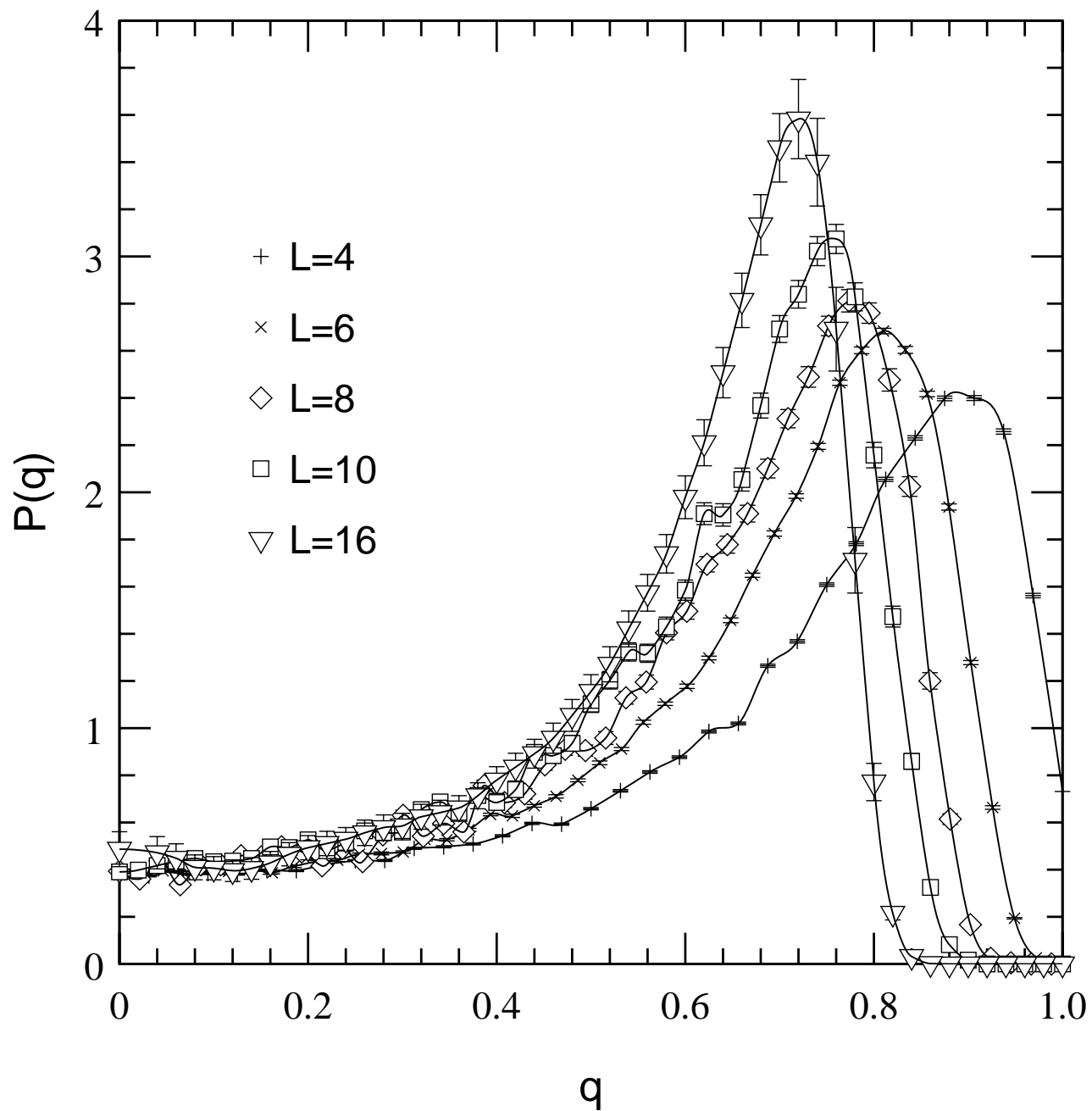


Figura 3: **Distribución de probabilidad del solapamiento en el equilibrio.**

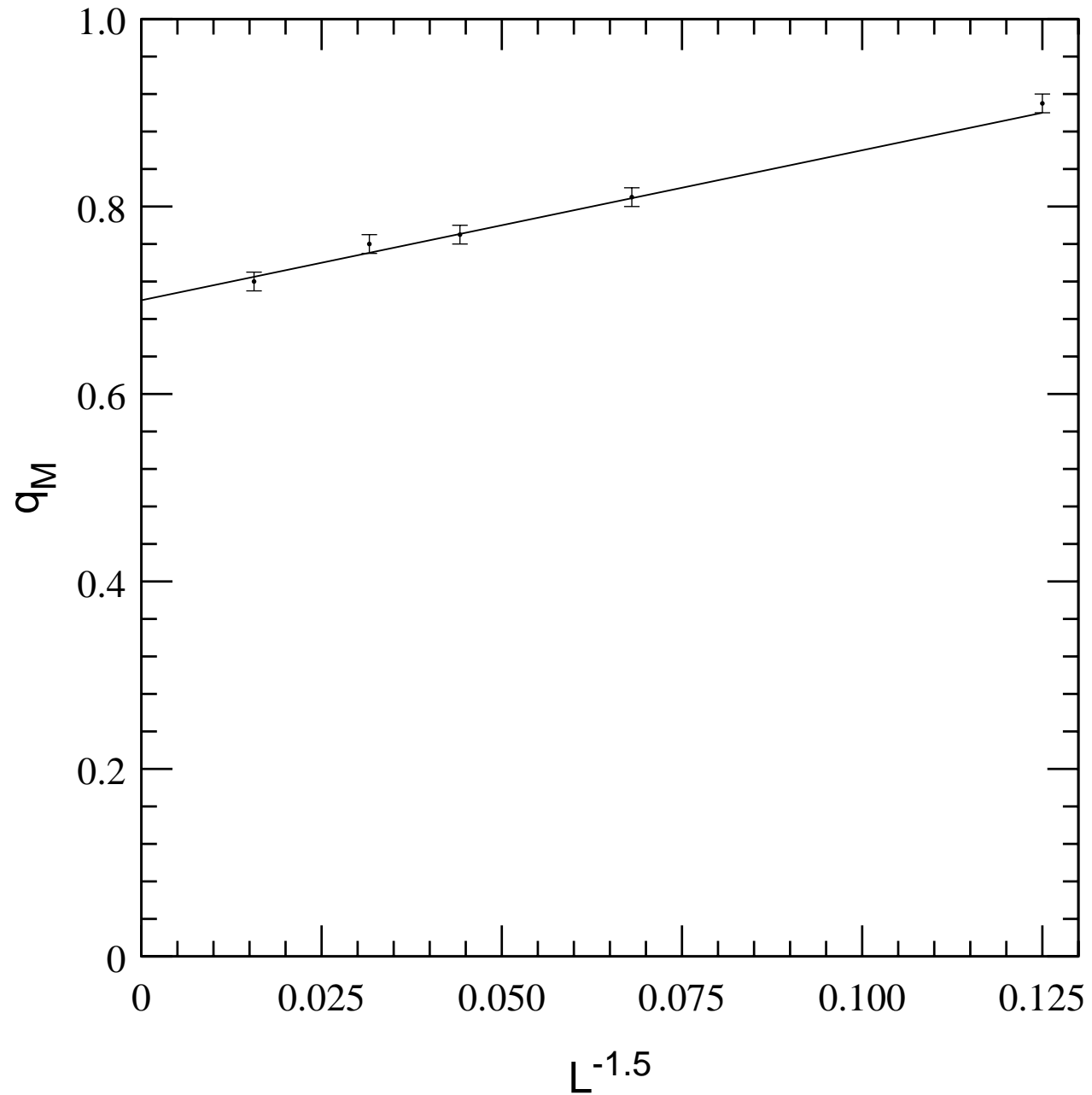


Figura 4: “Máximo” solapamiento en función del tamaño del sistema.

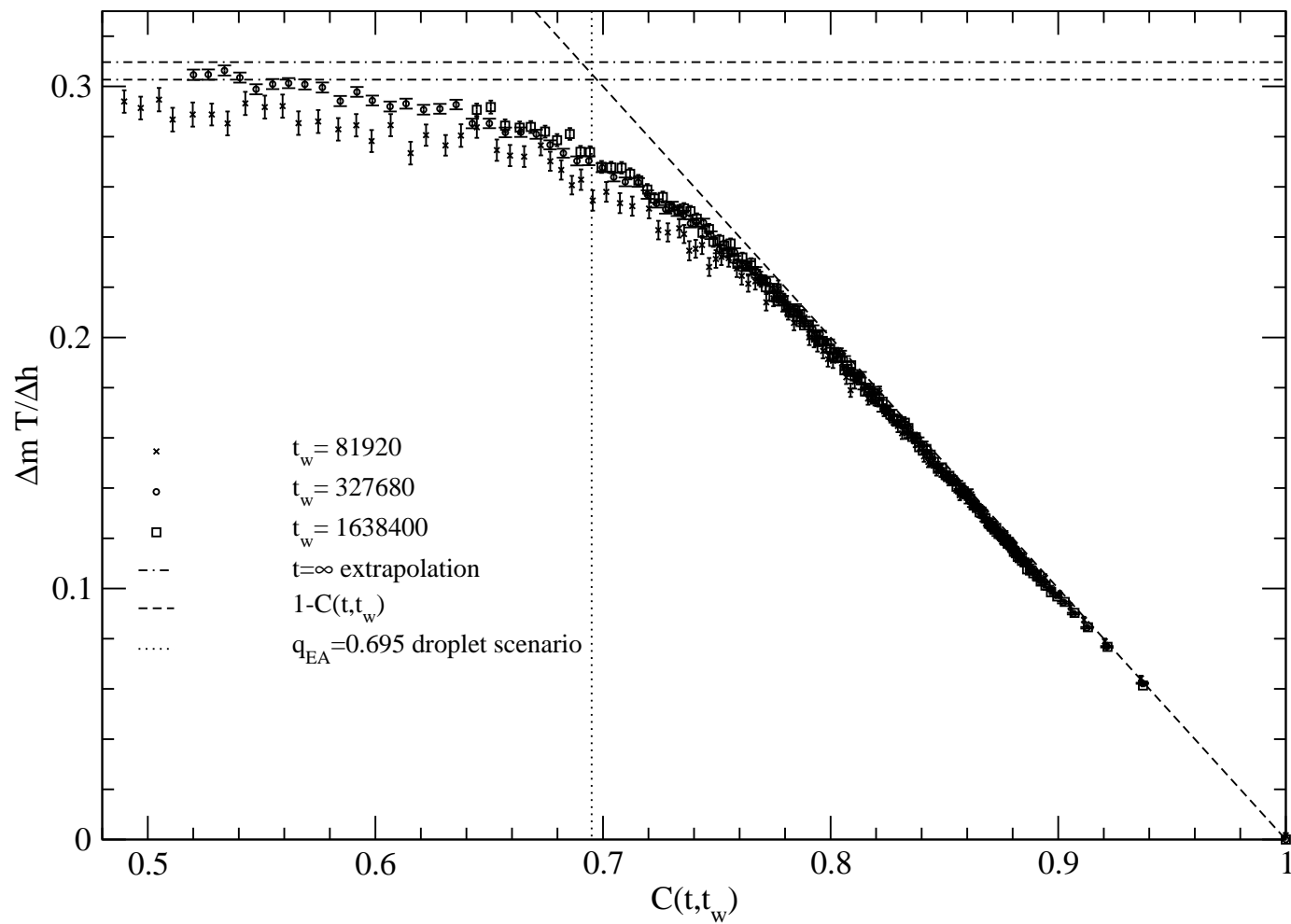


Figura 5: **Vidrio de espín tridimensional.** $h = 0.2$, $L = 30$, $T = 0.714$. Cruz, Fernández, Jiménez, Ruiz-Lorenzo y Tarancón.

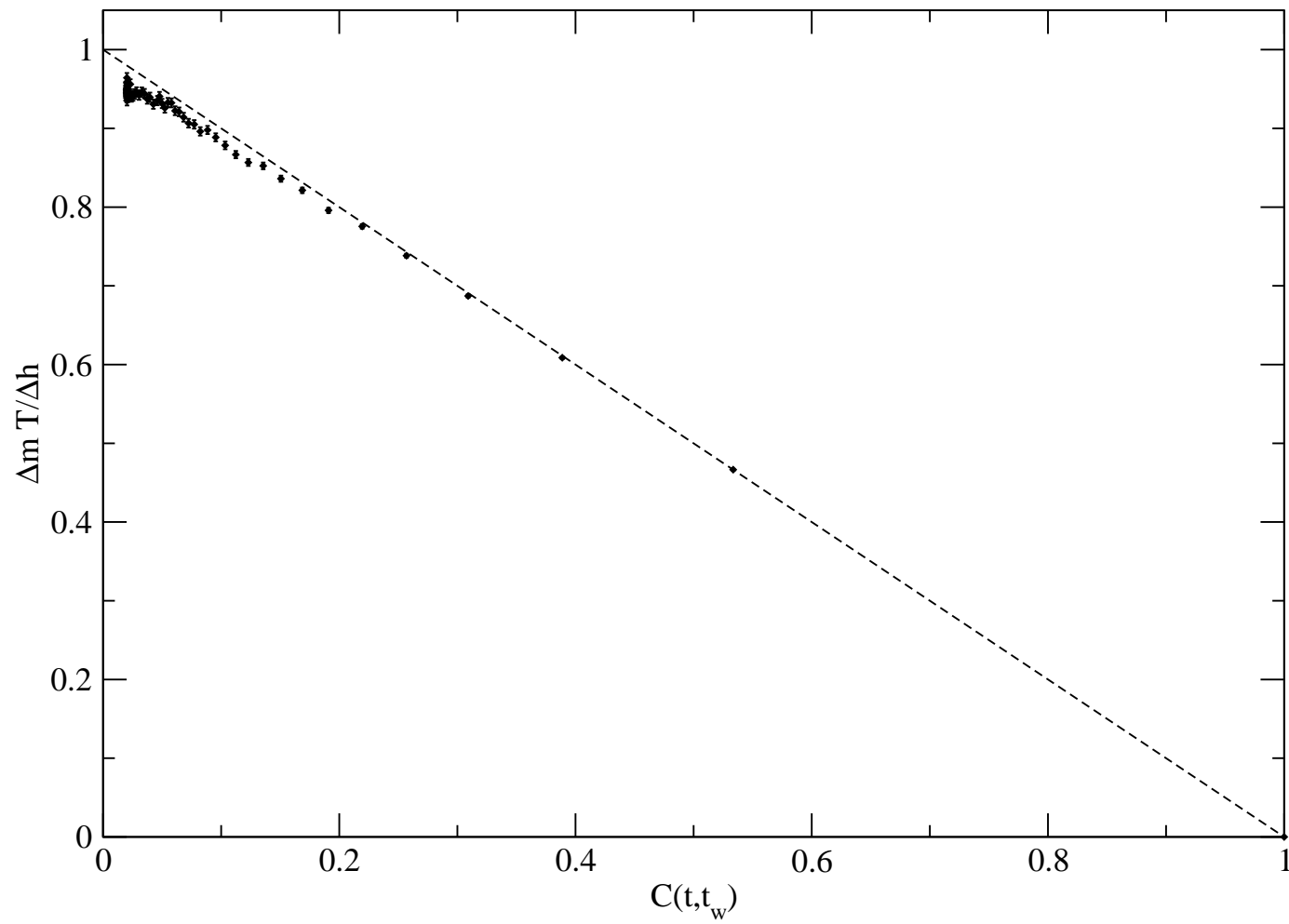


Figura 6: **Vidrio de espín tridimensional.** $h = 0.2$, $L = 30$, $T = 2.5$. $t_w = 409600$.

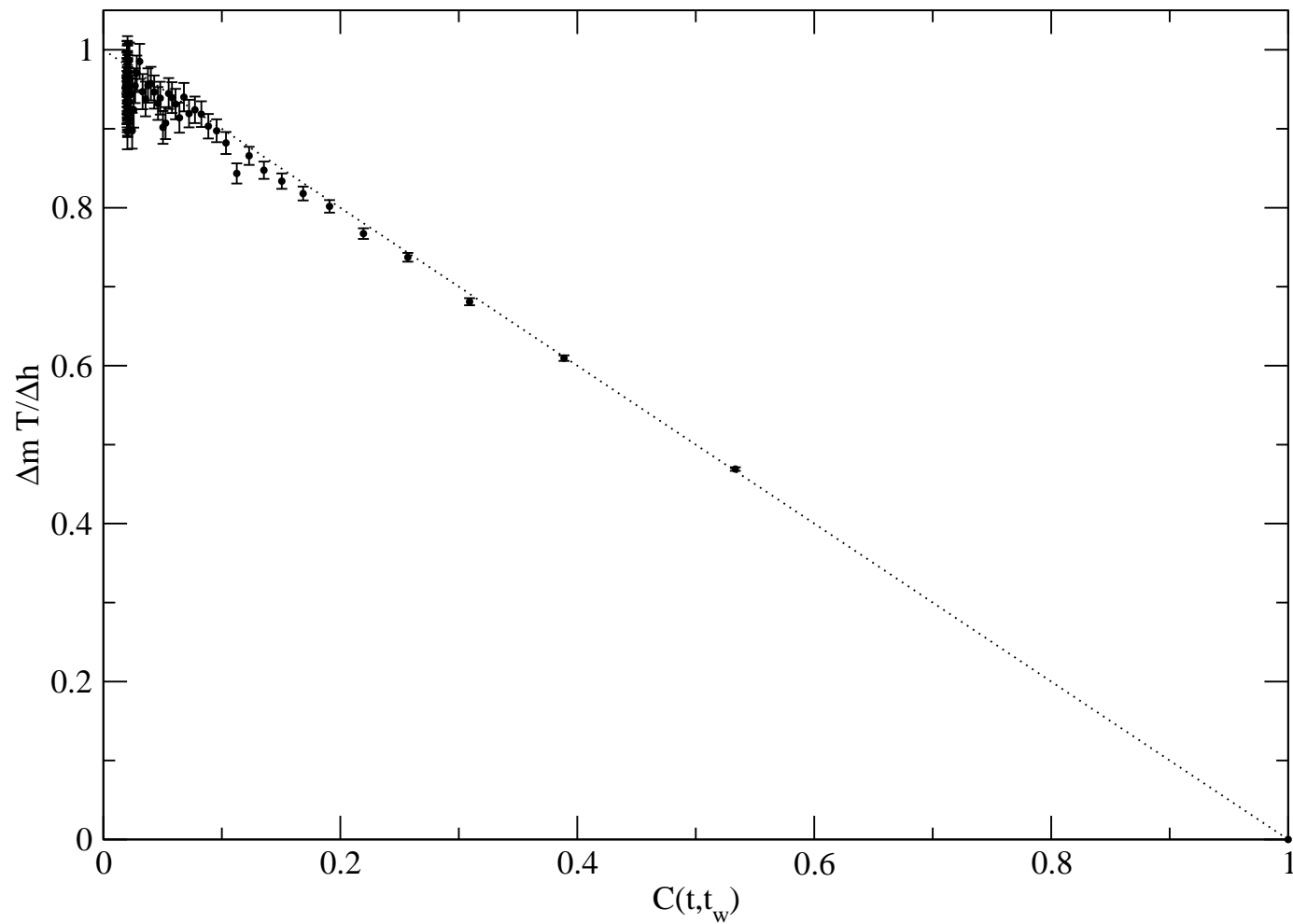


Figura 7: **Vidrio de espín tridimensional.** $h = 0.2$, $L = 30$, $T = 2.5$. $t_w = 819200$.

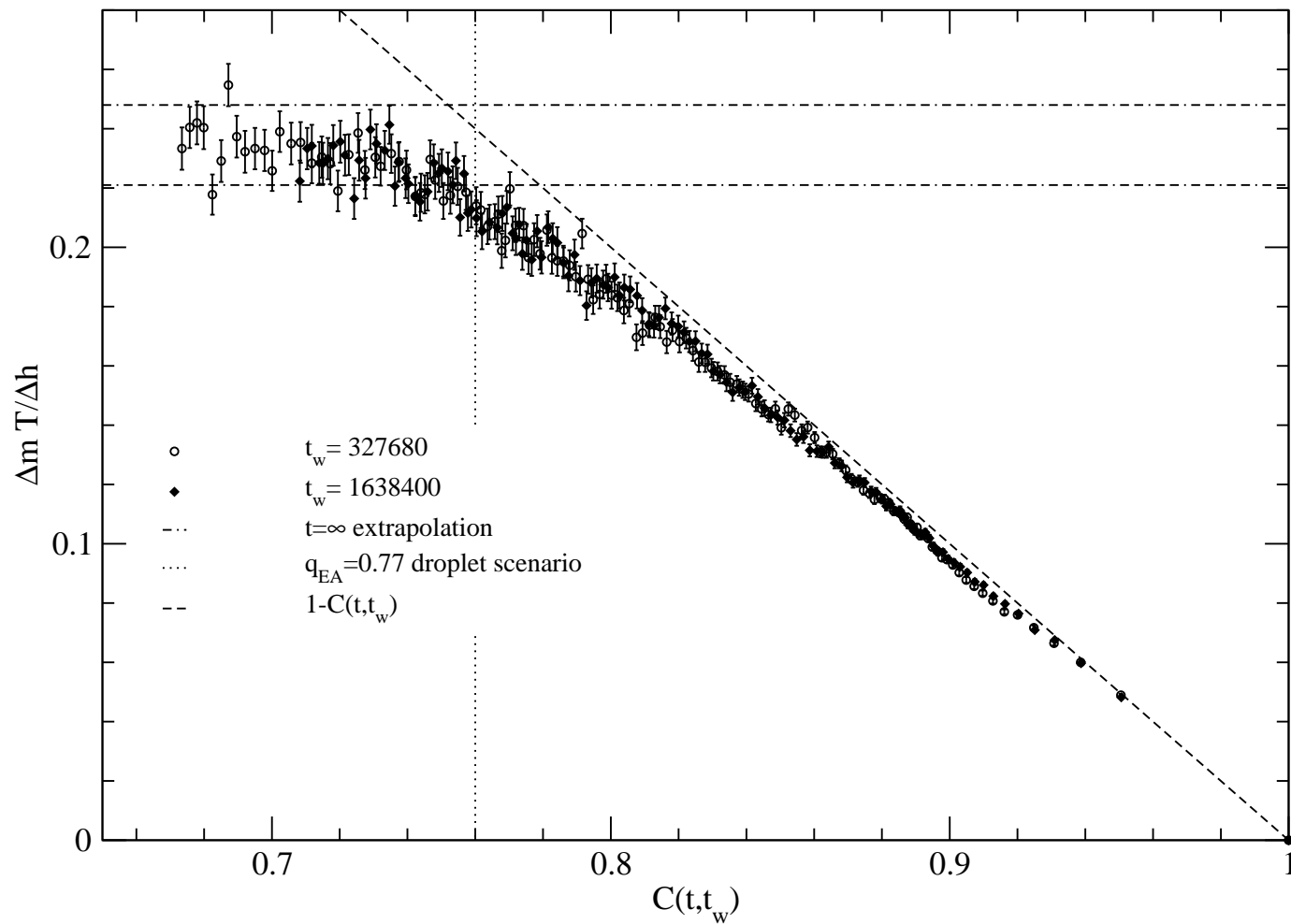


Figura 8: **Vidrio de espín tridimensional.** $h = 0.6$, $L = 30$, $T = 0.714$.

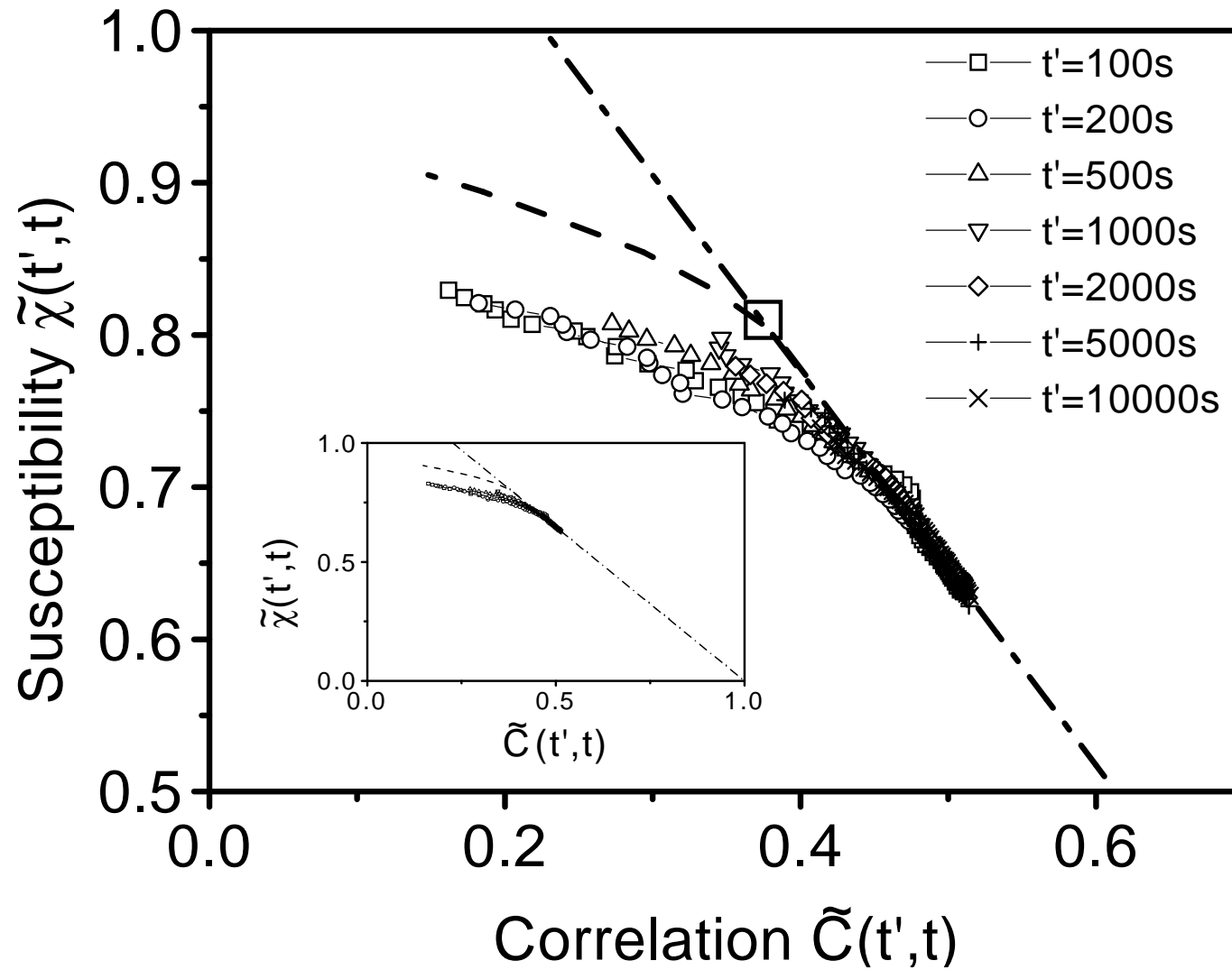


Figura 9: $\text{CdCr}_{1.7}\text{In}_{0.3}\text{S}_4$. $T_g = 16.2\text{K}$. $T = 0.8T_g$. Hérisson y Ocio.

Conclusiones/Resumen

- Técnicas Analíticas.
 - Para sistemas con **estabilidad estocástica** se verifica la relación **estática-dinámica**.
- Simulaciones Numéricas.
 - Evidencia numérica fuerte de **estabilidad estocástica** en vidrios de espín en dimension finita.
 - Numéricamente los resultados son **asintóticos** (en el error estadístico).
 - Tanto en $h = 0$ en $h \neq 0$ los resultados se pueden interpretar en el marco de **RSB** y **descartan Droplet**.
 - Evidencia numérica fuerte de la relación **estática-dinámica**.
- Experimentos.
 - Las relaciones de fluctuación-disipación permiten una **medida experimental** de $P(q)$.
 - Los datos experimentales **no son asymptóticos**. La **extrapolación** de los datos apunta a **RSB**.